KT-81 型塞曼效应测汞仪的研制

林瑞国 钟兆群 林绍发 曾祥湖 李矩昌 黄桂兰 张荣湘 何华焜

(广东省测试分析研究所)

汞是环境污染调查、食品卫生检验中的 重点元素。关于汞的分析方法和测量装置的 研究在我国已经取得了很大的进展。但是, 目前国内广泛使用的各类测汞仪一般都要经 过化学前处理,分析流程长,步骤繁琐,甚 至会造成较大的测量误差。

KT—81 型 测汞仪采用加热分解,塞曼 效应原子吸收方法,是一种新型测汞仪。它 与湿式分解法的测汞仪,金汞齐法的测汞仪 相比具有如下优点。

- (1)分析速度快。试样不需要化学前 处理,就能直接测量,1—2分钟就能分析 一个样品。
- (2)准确度高,避免了化学前处理带来的误差,提高了仪器校正背景的能力。
 - (3)绝对灵敏度高,可检测痕量汞。
- (4)应用范围 较广。如对土壤、人发、食物、药品以及煤等样品能直接测量。

一、工作原理

所谓塞曼效应是指谱线在外磁场作用下发生分裂的现象。图 1 是汞的塞 曼 分 裂 模式——汞的发射线和吸收线 轮 廓^[1]。考虑到测汞的特点,本仪 器 采 用 光 源 调 制 方式^[2]。光路原理图如图 2 所示。

汞灯置于强的永久磁场中间,从横向观察, 汞的特征辐射 253.7nm 分裂为三个组份, 其中一个组份与未加磁场时的谱线位置即(253.7nm)一致, 称π组份, 其余两个

组份对称地分布在 π 组份的两侧,总称为 σ 组份。 π 和 σ 组份都是线性偏振光,前者偏振方向和磁场方向平行,后者和磁场方向垂直。这两种偏振光通过旋转检偏振器后,在时间上调制分离成两束光线—— π 光束和 σ 光束。它们按一定的时间间隔交替通过吸收管, π 组份被吸收管中汞原子和背景干扰组份所吸收(称为吸收 波长, $\lambda_{\pi}=\lambda_{0}=253.7$ nm),而 σ 组份只被背景吸收(称为参考

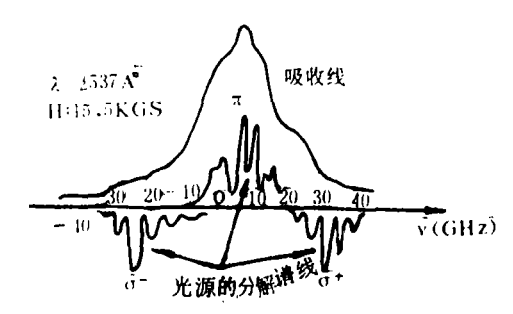


图 1 汞的塞曼分裂模式—汞的发射线和吸收线

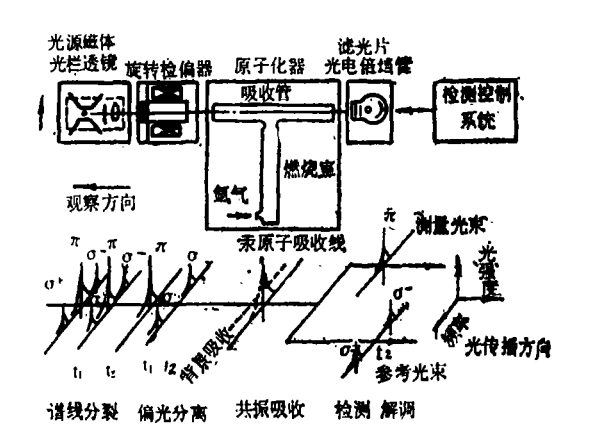


图 2 光路原理方框图

被长, $\lambda_{\sigma} = \lambda_{0} \pm \Delta \lambda = 253.7 \text{nm} \pm 0.00 \text{xnm}$)而后,这两种组份由光电倍增管检测,求出它们的相对强度,从而测量出吸收管中真正的汞原子浓度,达到校正背景的目的。

上述系统与普通的单光束原子吸收系统相比,只是多了一个磁场和一个旋转检偏振器。由于采用了塞曼效应的原理和检偏振光技术,使该系统实际上成为双波长和双光束的仪器。这样就大大地提高了仪器的稳定性和校正背景的能力。

根据比尔定律,在一定浓度范围内,通过吸收介质后 π 组份和 σ 组份的光强度分别用下式表示:

$$\begin{cases} I_{\pi} = I_{\pi 0} exp[-C_{A}K_{\pi}^{A}L - C_{B}K_{\pi}^{B}L & (1) \\ I_{\sigma} = I_{\sigma 0} exp[-C_{A}K_{\pi}^{A}L - C_{B}K_{\sigma}^{B}L & (2) \end{cases}$$

式中: $I_{\pi 0}$ 和 $I_{\sigma 0}$ 分别为 π 和 σ 组份的入射光强度。 K_{π}^{A} 和 K_{π}^{B} 分别为 π 组份的原子吸收系数和背景吸收系数。 K_{σ}^{A} 和 K_{σ}^{B} 分别为 σ 组份的原子吸收系数和背景吸收系数。 C_{A} 和 C_{B} 分别为汞原子浓度和现在的背景吸收浓度。 L为吸收光程,即吸收管有效长度。

本系统基本上实现下述三个条件: (1) $I_{\pi 0} = I_{\sigma 0}$ 。(2) $K_{\sigma}^{A} = 0$,即 σ 组份 基本移到吸收线轮廓之外,从而 σ 组份不被汞原子吸收。实验表明[1]: 当磁场强度大于 15千高斯时,能满足这一点,(8) $K_{\sigma}^{B} = K_{\sigma}^{B}$ 。由于 π 和 σ 组份波长相差甚微 (只有 0.00 xnm),两组份对背景于扰有基本相同的吸收系数。

对方程(1)和(2)分别取对数后相 减得到关系式:

$$A_t = r \cdot C_A \cdot L \qquad (3)$$

其中 $A_i = lg \frac{I_{\sigma}}{I_{\pi}}$ 称为(磁)吸光度

因此 $r = \frac{1}{2.3} K_{\pi}^{4}$, 在一定的浓度 范围内, 本仪器测得的吸光度仅与汞原子浓度、吸收光程成正比, 而与背景干扰物质无关。

二、仪器结构和电子线路

如图 2 所示,虽然本仪器光 路 采 用 单 灯、单原子化器、单检测器的结构,但实际 上却具有双波长、双光束光路系统的性能。 整个光路结构简单,易于调整。其中永久磁 体、汞无极放电灯,检偏振器和原子化器是 本仪器的关键部件。

1. 永久磁体

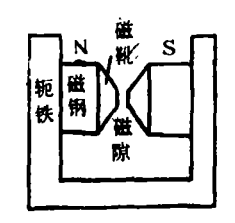


图 3 永磁部件的 C 型结构

磁隙间距3mm,磁场强度高达16千高斯,满足理论上的要求。其体积小,重量轻、保磁性能好。

2. 录无极放电灯

仪器要求将汞灯放置在强磁场中,为避 免磁体造得过大,要求汞灯微型化。

汞无极放电灯如图 4 所示。它是用石英

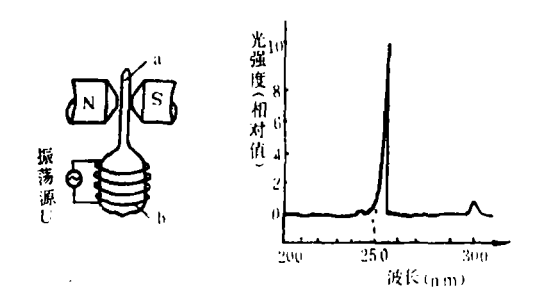


图 4 汞的无极放电灯及其紫外光谱 特性图

玻璃吹制而成的蝌蚪形灯。将汞槽 b 部份放 进高频线圈,线圈中的高频电磁场 (~22 MC)激发无极放电灯发光。毛细管 a 位于 磁隙中间,在强磁场作用下,能使发光体很 好地充满整个毛细管,场强 越 强,亮 度 越 大^[3]。该灯的光谱扫描图见图 4。

3. 检偏振器

为把偏振光方向正交的π和σ组份分离开来,选用浸碘聚乙烯醇片作为检偏振光方向占体。 当偏振光方向与偏振光方向与分子排列方向相一致时,偏振光通过偏光片。而振动方向与分子排列方向相垂直的偏振光,则被碘分子所引收。如果使偏光片垂直于光束传播方向作周期性的转动,则和重生的,如果使偏光片,在时间上调制成两束振动方向正交的光线。浸碘聚乙烯醇片一般只能用于可见光波段。但恰巧在汞共振吸收线周围存在一个"窗口",如图6

振动方向 分子排列方向

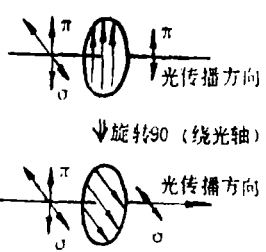


图 5 检偏振原理示意图

所示。在这一窗口,汞辐射线有较好的透光 度^[4]。本仪器所用的偏光片,单片透 过 率 (253.7nm)约30%,偏光度可达90%。

4. T型原子化器

它山吸收管V。和燃烧室V。两部分组成,见图 7。燃烧室用电热丝加热,温度通过 SCR比例控制技术加以维持。为达到助燃目的,用氧气作载气。待测样品放在石英进样 舟中,持样器直接把样品送入燃烧室加热分解,产生的汞蒸气随同烟雾等燃烧产物一道 由载气送入吸收管 Va,从而发生汞原子共 振吸收而测出样品中实际的汞含量。废气经一个山充满银丝的集汞阱后排空。该结构容易拆装和清洗。对于一般样品可长期使用。 本仪器中, V_a取260× ϕ 10,容量约 20 cm³。

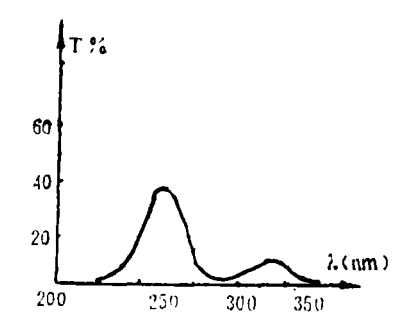


图 6 浸碘聚乙烯醇片紫外光谱特性图 实践表明,光路系统良好的背景校正能力是 直接进样测量的前提,而合理的原子化器结构及相应的工作条件是保证直接 测 量 的 关键。

5. 电路原理

图 8 是本仪器电路原理方框图。由光电倍增管检测到的 π 信号和 σ 信号经前置放大器后,送入解调器。由解调器分两路输出 π 信号和 σ 信号,而后一起送入对数比较放大器,经自动调零电路之后,送入积分器。从对数比放大器可以得到吸光度输出 A,值。从积分输出 A,值。 该电路系统的功能与一般的双光束原子吸收分光光度计的 电路 相类似。结合本仪器的特点,电子线路有独特之处。

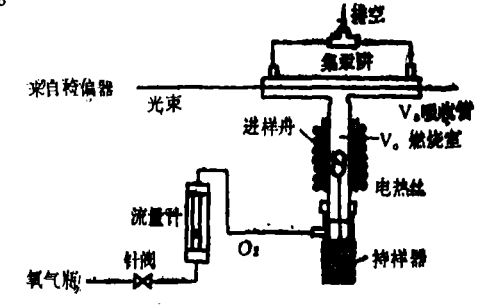


图 7 原子化器结构及气路示意图

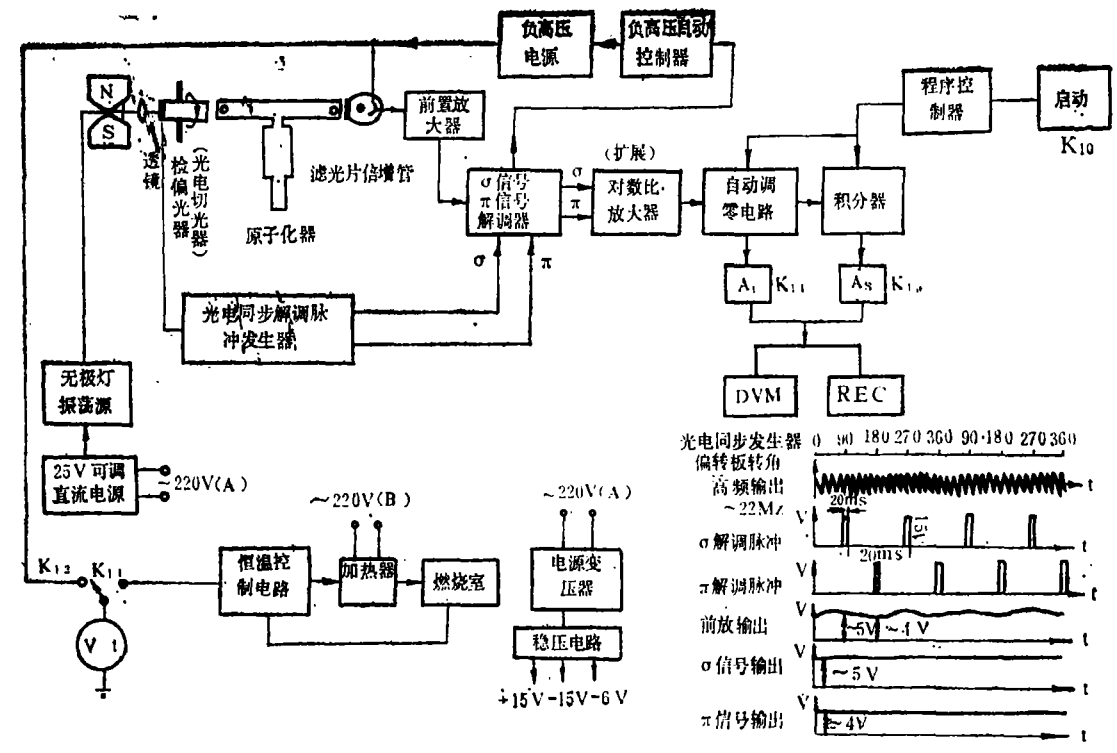


图 8 光路、电路原理方框图

- (1)无极放电灯的供电电源采用单独的变压器,单独的直流电源和简单的射频振荡源,并严格屏蔽。以防止高频辐射对整个电路系统的影响。和无极放电灯的发光特点相适应,前置放大采用直流放大器。
- (2) 光电倍增管的负高压发生器和参 考信号通道(σ信号)组成一个闭合的自动 负反馈系统,使σ信号通道的输出电压在整 个分析过程中维持不变。(参考信号电压不 变是通过负高压的变化来维持的)。这样, 即使在高的背景吸收情况下也能保证测量的 正常进行和可靠性。同时通过负高压的变化 情况能了解样品背景干扰吸收的程度。
- (3)积分器。由于原始样品不经化学前处理直接加热分解,在燃烧室中,有些化合物会出现部分分馏的现象,不同基体的样品脱汞速度不同,有些样品甚至会出现双峰,多峰的吸收信导轨迹。因此,简单地测量吸收信导峰高处的吸光度 A,值,往往很难反映不同类别样品中真正的汞台量。给仪

器的汞量定标造成很大困难。本仪器中,采取在汞蒸气通过吸收管的整个时间内,对吸收信号进行积分,这样就有可能消除上面所说的困难,简单地用饱和汞蒸气(或标准溶液)进行定标,达到较准确测量的目的。由于使用了积分器,我们可以很方便的将测量到的结果直接用数字显示,实现总汞重量直读。

三、实验结果和讨论

(1)本仪器用饱和汞蒸气作为汞量测量标准,仪器的性能指标如下:

灵敏度 S: 0.26ng;

检出限D·L: 0.26ng;

精密度γ: 2%;

测量线性范围: 分 0 —20ng 和 0 —100 ng两档;

测量时间: 1-2分钟;

进样量:一般<50mg。

样	品	本仪器结果(ppm)			验 证 值(ppm)		
		进样量	汞含量	平均汞含量	•		
河	泥	50 m g	0.91				
(NBS)		50 m g 50 m g	0.94 0.91	0.92	1.1 ± 0.5		

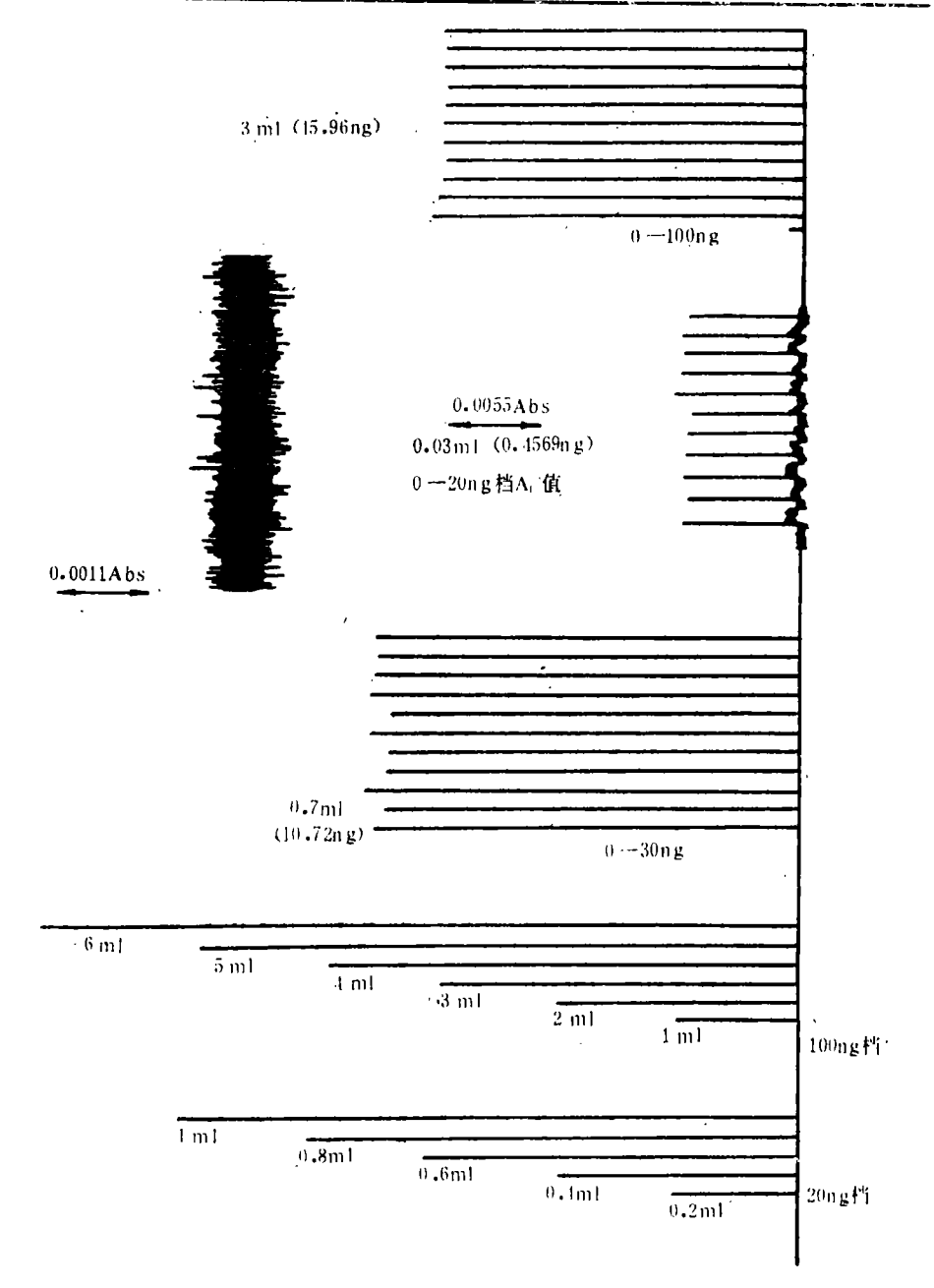


图 9 主要性能测试图

静态扣背景能力实验可扣除大于 1.5Ab s的背景干扰吸收。动态实验能消除 30ml饱 和丙酮蒸气的干扰吸收。仪器噪声 < 0.0014 Abs, 开机20分钟后基线漂 移 < 0.001Abs/ 20min。记录谱图见图 9。

(2) 为了验证仪器测量固体样品汞含量的准确性,测量了 NBS 标 准样品中的含

量(见表 1), 其结果与 NBS 标 准参考值相符合。

(3) 用本法对泥土、污泥、人发、奶粉等的测试结果与常用测汞方法的分析数据作了比较。表2列出本法及湿式分解法对各种土壤标本测试的结果,表3列出与日本理学电机SP—【型测汞仪测量结果对比。

表 2

本法和通用的湿式分解法结果比较

 样	品	汞含量(ppm)			R.S.D.
ፐተ		590测汞仪	CH7601測汞仪	KT-81型	Ν,υ,Σ,
浙江纟	 I. 壤	0.039	0.037	0.036	4 %
华家池土壤		0.45	0.39	0.31	18%
华中磁灰		0.55	0.58	0.57	3 %
北京 10 号		6.78	7.4	7.5	6 %

表 8

本法和金汞法结果比较

+¥: □	汞含量	n a n		
样 品 	理学SP-I型结果 (金汞齐法)	KT-81型(ZM分光法)	R.S.D	
人发(A)	1.96	1.87	3 %	
上海土壤	0.405	0.450	7 %	
29#污泥	2.16	2.09	2%	
奶粉	0.043	0.041	3%	

以上两组数据表明,本仪器采用的直接 加热分解、塞曼分光方法和通用的湿式分解 法,金汞齐法所得的结果均能较好的一致。 这就从另一面说明本仪器测量结果的准确 性。

- (4)仪器能直接测量奶粉、香精、煤、药品等背景干扰严重,复杂的样品,为食品卫生检验提供了快速、方便、准确的分析仪器。
- (5)选择适当工作条件,对实现直接 测量也有重要作用。一般样品加热温度取 750℃,氧气流量500毫升/分,进样量通常 少于50毫克,有些样品还需加适当的添加剂

(如氢氧化钙等)与样品一起加热分解,测量过程中,氧气流量将严重影响系统的灵敏度。

参考文献

- [1] H.Koizumi and K.Yasuda, Anal.chem, 47, 1679(1975).
- [2] 何华焜,分析化学, 6(2), 138 (1978)。
- [3] 小泉英明, 特许公报, 昭52-4 (1981)。
- [4] 郑康乐、邓宜成, 《一九七八年度 岩矿测试科研成果汇编》, (41), (内部资料)。